# 接着剤を用いた接合面に作用する面圧がせん断強度に及ぼす影響に関する研究

学生会員 ()藤本 高志 大阪市立大学大学院

大阪市立大学大学院 正会員 山口 隆司 コニシ株式会社 正会員 堀井 久一

1. 研究背景及び目的

鋼部材の腐食に対する当て板補修では、不陸調整や防食 を目的として腐食部にエポキシ樹脂(以下、接着剤とい う.) 等を充填する場合がある りが、高力ボルト摩擦接合 部に接着剤を用いる場合のすべり挙動に与える影響につい て明確でない.

本研究では、高力ボルト摩擦接合と接着剤を併用した接 合(以下,接着摩擦併用接合という.)を想定し、接着接 合面に作用する面圧と接合面のせん断強度の関係を把握す ることを目的として, 小型鋼板の接着接合面に均等な面圧 を作用させてすべり試験を実施した. なお,接着摩擦併用 接合への展開を想定し、接合面のずれを摩擦接合のすべり とみなし評価する.

### 2. 実験供試体

実験供試体の内訳,形状を表-1,図-1にそれぞれ示す. 使用鋼種は SS400 である. 内試験片は既設部材を想定して, 接合面にブラスト処理を行った. 外試験片は、新設部材を 想定して,無機ジンクリッチペイント(以下,無機ジンク という.) とし、空隙を充填することによる強度向上を狙 ってプライマーを塗布した. 接着剤は、ペースト状の2液 混合型金属接着用エポキシ樹脂系接着剤(製品名: E258RW) を青に着色し、プライマーは、超低粘度形注入 補修用エポキシ樹脂系接着剤(製品名: E205) を用いた. 実験供試体のパラメータは接着面の作用面圧とした. Case-Aでは、接着面の作用面圧を100%とし、B、Cでは50%、 5%とした. 作用面圧の 100%は 64.9N/mm<sup>2</sup>である. これは, F10T の M22 ボルトを使用し、連結板厚を 12mm と想定し た場合に、図-2 に示す軸力影響範囲の接触圧面積から算出 した設計軸力時に作用する平均面圧である.

## 3. 試験方法

使用した試験機を図-3 に示す. 試験機の鉛直ユニットに 万能試験機で圧縮載荷を行った. 供試体は, 内試験片 2 枚 と外試験片2枚を用い、それぞれ1枚ずつを接着接合する。 供試体の接着は、接着剤の層厚を均一に保つために、スナ ッグタイト程度である 46kN³時に図-2 の接触圧面積におけ る平均面圧 14.6N/mm<sup>2</sup> が接着面全体に作用するように、軸

力 36.5kN で圧着した. プライマーの養生期間は 30 分とし, その上から接着剤を塗布し接着している. 圧縮状態で24時 間以上、その後未圧縮状態で養生し、計1週間以上の養生 期間を設けた、接着した供試体例を図-4 に示す、はみ出た 接着剤は試験前にグラインダーにて除去した. 供試体を試 験機に設置し、水平ジャッキで所定の軸力を作用させた状 態で、万能試験機により鉛直ユニットを載荷する. 載荷は 1kN/sec を目標とし、すべり後荷重が一定の値に落ち着くと ころまで載荷した.

計測項目は、鉛直荷重、水平荷重、各供試体の内試験片

表-1 実験供試体の内訳

供試体 Case	面圧		表面		
	(N/mm <sup>2</sup> )	(%)	内試験片 (母材想定)	外試験片 (連結板)	供試体数
A	64.9	100	ブラスト	無機ジンク	3
В	32.5	50	ブラスト	無機ジンク	3
С	3.2	5	ブラスト	無機ジンク	3

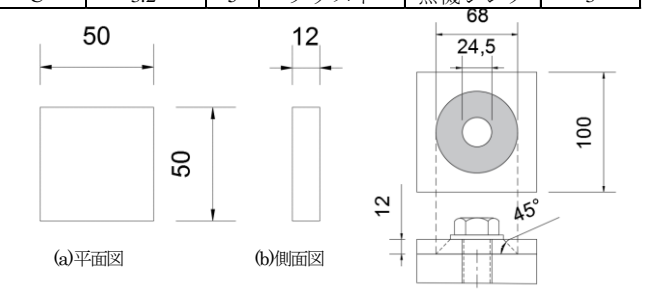


図-1 内試験片と外試験片の 図-2 接触圧面積

形状(単位:mm)

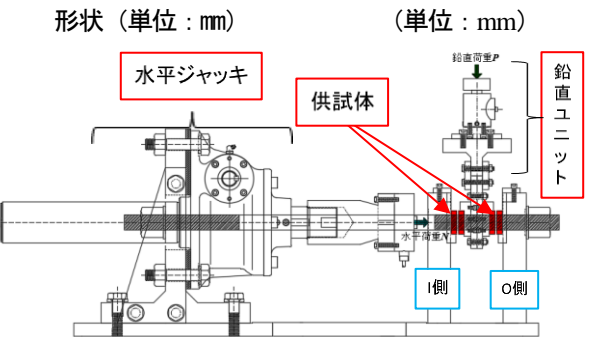


図-3 試験機と供試体の設置状況

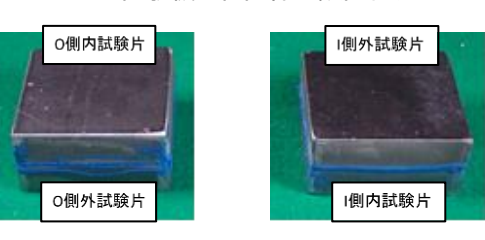


図-4 接着後の供試体例

キーワード 接着剤、接着摩擦併用接合、すべり試験、当て板補修

〒558-8585 大阪府大阪市住吉区杉本 3-3-138 大阪市立大学 TEL 06-6605-2765 FAX 06-6605-2765 連絡先

表-2 試験結果まとめ(3体の平均値)

供試体 Case	すべり 荷重 (kN)	試験前 水平力 (kN)	すべり時 水平力 (kN)	試験前 面圧 (N/mm²)	すべり時 面圧 (N/mm²)	せん断 強度 (N/mm²)	すべり 係数
A	160.0	162.0	163.9	65.2	66.0	32.1	0.49
В	131.0	81.1	84.8	32.7	34.1	26.3	0.81
С	86.7	8.1	12.0	3.3	4.8	17.4	5.32

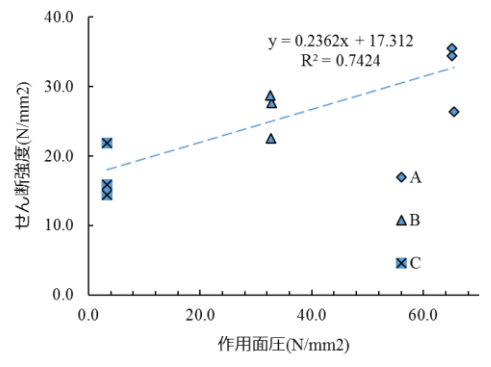


図-5 せん断強度と面圧の関係

と外試験片の相対変位である.

## 4. 試験結果と考察

試験結果を表-2 に、面圧とせん断強度の関係を図-5 に、 CaseA~C の代表供試体の荷重と相対変位関係を図-6 に、試験後の接合面を図-7 に示す. すべり荷重は、明確な荷重低下の生じた第一ピーク荷重とする.

表-2,図-5 より作用面圧が大きくなるとすべり荷重が増加することがわかり、作用面圧とせん断耐力の関係に線形性を有しているものと考えられる.これは、面外方向からの拘束力が大きくなると、せん断変形が抑えられるためせん断強度が高くなったことが原因の一つと考えられる.

図-6 より面圧によって荷重-相対変位の剛性に大きな違い は見られないが、面圧 100%の Case-A のみ第一ピーク後に なだらかな荷重低下が生じている.

試験後の接合面の観察より、面圧 5%の Case-C は外試験片の無機ジンクが破壊せず残っており、接着剤と無機ジンクの接着層面の破壊が多くを占めていた。これは、面圧が低く拘束力が小さいためである。面圧 50%の Case-B は主とする破壊形式は無機ジンクの破壊であり、接着剤の破壊も混在する。面圧 100%の Case-A は外試験片に接着剤が付着しており、接着剤の破壊が主とする破壊形式であり、接着剤の破壊と無機ジンクの破壊が混在している。 Case-C に比べ Case-A,B は拘束力が高くなり、接着層面のせん断耐力が向上し、接着剤の破壊や、無機ジンクの破壊が生じたためと考えられる。

#### 5. 結論

接着摩擦併用接合を想定し、接着接合面に面圧を作用させた小型鋼板を用いた小型すべり試験を実施した. 得られ

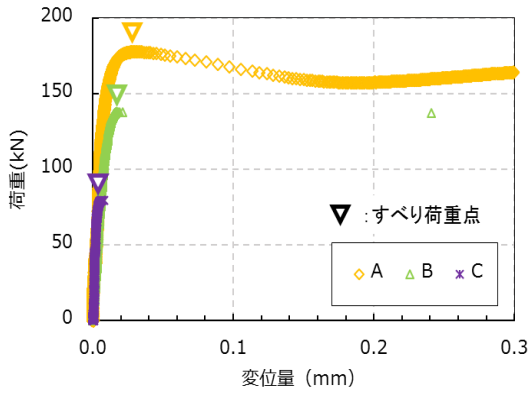


図-6 荷重-相対変位関係

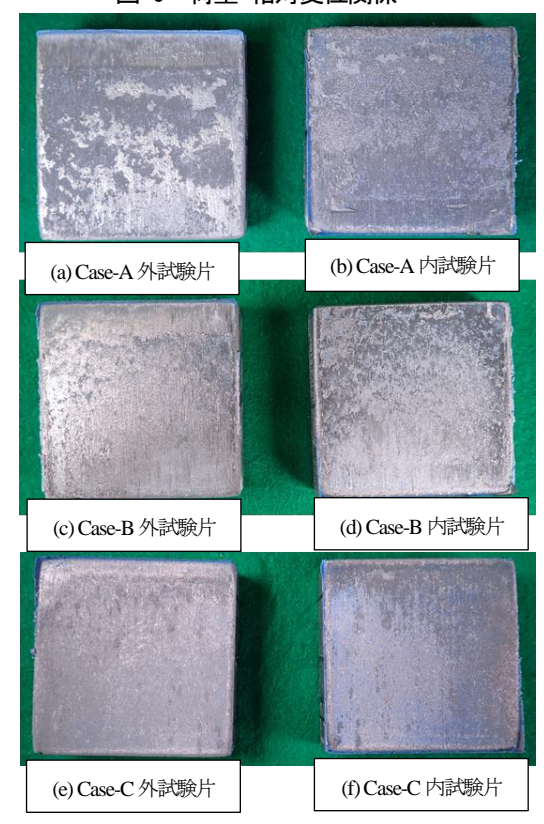


図-7 試験後の接合面

た結果を以下にまとめる.

- (1) 接着摩擦併用接合の接合面に面圧が作用した場合に面 圧の増加に伴い、接合面のせん断強度が線形に増加す ることを示した.
- (2) 試験後の接合面の破壊形式については、面圧が小さい場合は無機ジンクと接着剤の接着層面の破壊が支配的となり、面圧が大きい場合は無機ジンクの破壊と接着剤の破壊が支配的である.

#### 参考文献

- 1) 土木学会 鋼構造委員会 鋼構造の残存耐荷性能評価と耐久 性向上方策研究小委員会:腐食した鋼構造物の耐久性照査マ ニュアル,2009.3
- 2) 丹波寛夫, 行藤晋也, 山口隆司, 杉浦邦征, 飛ヶ谷明人, 田畑晶子: 腐食孔を模擬した凹部を有する接合面に接着剤を塗布した高力ボルト継手の力学的挙動に関する実験的研究, 構造工学論文集, Vol.60A, pp.703-714, 2014.3